• 核医学 •

18F-FDG PET/CT 在淋巴瘤结外侵犯中的诊断价值

陈光祥,蔡亮,张伟,黄占文,陈跃,唐光才

【摘要】目的:探讨 18 F-FDG PET/CT 在淋巴瘤结外侵犯中的诊断价值。方法:回顾性分析经穿刺活检、手术病理证实或临床综合诊断为淋巴瘤结外侵犯的 27 例患者的临床和 PET/CT 资料。结果:27 例结外侵犯的淋巴瘤中,PET/CT 共发现 74 个 18 F-FDG 摄取异常增高的淋巴瘤结外侵犯病灶,平均 SUV $_{\rm max}$ 为 6. 3±2. 1,其中胃肠道 10 例(14 个病灶)、脾脏 4 例(5 个病灶)、鼻咽、口咽部 3 例(7 个病灶)、肝脏 3 例(4 个病灶)、骨骼 2 例(21 个病灶)、肺组织 2 例(5 个病灶)、腹膜 1 例(7 个病灶)、膈肌 1 例(3 个病灶)、腮腺 1 例(2 个病灶)、肌肉 1 例(2 个病灶)、皮肤 1 例(2 个病灶)、鼻中隔 1 例(1 个病灶)、睾丸 1 例(1 个病灶)。PET/CT 对淋巴瘤结外侵犯病灶的诊断符合率为 94. 0%(79/84),灵敏度为 96. 1%(74/77),特异度为 71. 4%(5/7),阳性预测值为 97. 4%(74/76),阴性预测值为 62. 5%(5/8)。结论: 18 F-FDG PET/CT 代谢成像能准确显示淋巴瘤结外侵犯全身病灶,具有重要的临床应用价值。

【关键词】 正电子发射断层显影术;体层摄影术,X线计算机;淋巴瘤;淋巴细胞,肿瘤浸润

【中图分类号】R733.4; R814.42 【文献标识码】A 【文章编号】1000-0313(2013)01-0095-04

The value of ¹⁸F-FDG PET/CT in the diagnosis of extranodal invasion of lymphoma CHEN Guang-xiang, CAI Liang, ZHANG Wei, et al. Department of Radiology, the Affiliated Hospital of Luzhou Medical College, Sichuan 646000, P. R. China [Abstract] Objective: To study the value of ¹⁸F-FDG PET/CT in the diagnosis of extranodal invasion in patients with lymphoma. Methods: The clinical and ¹⁸F-FDG PET/CT materials in 27 patients with lymphoma having extranodal invasion proved by aspiration biopsy, surgery and pathology or comprehensive clinical diagnosis were retrospectively analysed. Results: Of the 27 patients, totally 74 extranodal lesions with abnormally increased ¹⁸F-FDG uptake were found by PET/CT, with the mean of maximum standardized uptake value (SUV) as 6.3±2.1. There were gastrointestinal invasion (10 cases, 14 lesions), spleen invasion (4 cases, 5 lesions), nasopharyngeal and oropharyngeal invasion (3 cases, 7 lesions), hepatic invasion (3 cases, 4 lesions), bone invasion (2 cases, 21 lesions), pulmonary invasion (2 cases, 5 lesions), peritoneal infiltration (one case, 7 lesions), diaphragmatic infiltration (one case, 3 lesions), parotid infiltration (one case, 2 lesions), muscle infiltration (one case, 2 lesions), dermal infiltration (one case, 2 lesions), nasal septal infiltration (one case, 1 lesion), testicle lesion (one case, lesion). The accuracy, sensitivity, specificity, positive predictive value and negative predictive value of PET/CT in diagnosing extranodal lymphoma were 94.0% (79/84), 96.1% (74/77), 71.4% (5/7), 97.4% (74/76), 62.5% (5/8), respectively. Conclusion: The metabolic imaging of ¹⁸F-FDG PET/CT can accurately show lesions of extranodal invasion of lymphoma in the body and provides very important clinical value.

[Key words] Positron-emission tomography; Tomography, X-ray computed; Lymphoma; Lymphocytes, tumor-infiltrating

淋巴瘤结外侵犯是指淋巴瘤侵犯了淋巴结外的淋巴组织或器官,与结内淋巴瘤具有不同的临床、病理和影像学特征。明确淋巴瘤有无结外侵犯对淋巴瘤的治疗具有重要意义,可评估患者预后^[1]。传统的影像检查方法(CT、MRI)是淋巴瘤诊断、分期和治疗后随访的主要工具,但这些检查方法都是基于形态学的改变。随着影像学的快速发展,现有的影像学已不能只满足于从形态学上对病变进行定位、定性诊断,而应从更深层次的功能、代谢水平揭示病变性质、评估预后、评价疗效及复发监测等。PET/CT 代谢成像是目前最为成熟的分子成像技术,在肿瘤的诊断、鉴别诊断、分期

及疗效评价中具有重要价值。本文回顾性分析 27 例 淋巴瘤结外侵犯的临床和 PET/CT 表现,旨在探讨 PET/CT 在淋巴瘤结外侵犯中的应用价值。

材料与方法

1. 一般资料

搜集经穿刺活检、手术病理证实或临床综合诊断为淋巴瘤结外侵犯的 27 例患者,男 16 例,女 11 例,年龄 23~67 岁,平均(43.17 \pm 6.32)岁,非霍奇金淋巴瘤 19 例,霍奇金淋巴瘤 8 例。

2. 检查方法

¹⁸F-FDG PET/CT 采用 philips GEMINI TF PET/CT 仪。¹⁸F-FDG 由 Siemens 公司的回旋加速器 及自动合成系统自行生产,放化纯>95%。扫描前患

作者单位:646000 四川,泸州医学院附属医院放射科(陈光祥、唐 光才),核医学科(蔡亮、张伟、黄占文、陈跃)

作者简介:陈光祥(1977一),男,重庆永川人,硕士研究生,主治医师,主要从事肿瘤及心血管疾病影像诊断工作。

者空腹 4 h 以上,测定血糖水平在正常范围,静脉注射 18 F-FDG 显像剂 0. $15\sim0$. 20 mCi/kg,平卧 $40\sim60$ min,排尿后行数据采集。先行 CT 定位扫描,扫描范围从头顶至股骨中段,扫描参数:电压 120 kV,层厚 0. 5 mm;PET 数据采用 2D 采集模式,一般扫描 $6\sim7$ 个床位,每个床位采集 3 min,层厚 5 mm,机器自动利用 CT 数据对 PET 图像进行衰减校正,并进行图像重建和融合。

3. PET/CT 图像分析

由一位具有 10 年放射诊断工作经验的医师和一名具有 8 年核医学工作经验的医师共同阅读 PET/CT 图像,根据组织器官的形态、密度改变以及 18 F-FDG 异常摄取来判断病变的有无、部位,计算病变的数量,测量病变实性部分的最大标准化摄取值(maximum standardized uptake value, SUV_{max}),以 SUV_{max} > 2.5 为阳性,意见不一致时共同协商统一。

结 果

27 例结外侵犯的淋巴瘤中 PET/CT 共发现 74 个 18 F-FDG 摄取异常增高的淋巴瘤结外侵犯病灶,平均 SUV_{max}为 6.3 ± 2.1 。侵犯部位最多见于胃肠道,共 10 例 (37.0%,10/27), 14 个病灶, CT 示肠壁不规则增厚, SUV_{max} $3.6\sim11.3$ (图 1); 侵犯脾脏 4 例 (5 个病灶), CT 示病灶呈等或片状稍低密度, SUV_{max} $4.7\sim10.8$ (图 2); 侵犯鼻咽、口咽部 3 例 (7 个病灶), CT 示咽侧壁软组织增厚, SUV_{max} $4.1\sim9.5$ (图 3); 侵犯肝脏 3 例 (4 个病灶), CT 示病灶呈等或片状稍低密度,

SUV_{max} 3.9~7.7; 侵犯骨骼 2例(21个病灶), CT示 病灶呈溶骨性、混合性骨质破坏或等密度改变, SUV_{max} 3.2~9.4(图 4); 侵犯肺组织 2 例(5 个病灶), CT 示肺内结节或实变影, SUV_{max} 2.8~6.7(图 5); 侵 犯腹膜1例(7个病灶),CT示腹膜增厚呈结节状或肿 块状,SUV_{max} 5.5~10.3;侵犯膈肌1例(3个病灶), CT 示膈肌不规则增厚,SUV_{max} 4.7~8.5; 侵犯腮腺 1 例(2 个病灶), CT 示腮腺内结节影, SUV_{max} 3.6 \sim 4.5;侵犯肌肉1例(2个病灶),CT示病灶呈片状稍低 密度,SUV_{max}7.1~7.6;侵犯皮肤1例(2个病灶),CT 示皮肤不规则增厚,SUV_{max} 6.5~7.3;侵犯鼻中隔 1 例(1个病灶),CT示鼻中隔未见异常,SUV_{max} 7.9(图 3);侵犯睾丸1例(1个病灶),CT示睾丸内软组织密 度结节,其内密度不均,SUV_{max} 8.3。2个假阳性病灶 中1个结肠镜检为息肉,1个为肺内炎症,抗炎治疗后 病灶吸收消散。5个假阴性病灶 CT 示病变部位密度 减低,而无18 F-FDG 异常摄取,诊断为良性病变,后经 增强 CT 及彩超综合诊断为肝脏血管瘤 4 个、脾脏梗 死1个。3个假阴性病灶由于患者骨痛行髂嵴骨髓穿 刺诊断为淋巴瘤骨髓侵犯。PET/CT 对淋巴瘤结外 侵犯病灶的诊断符合率为94.0%(79/84),灵敏度为 96.1%(74/77),特异度为71.4%(5/7),阳性预测值 为 97.4%(74/76),阴性预测值为 62.5%(5/8)。

讨 论

淋巴瘤是来源于淋巴系统的恶性肿瘤,既可发生于淋巴结内,也可发生于淋巴结外的淋巴组织以及无

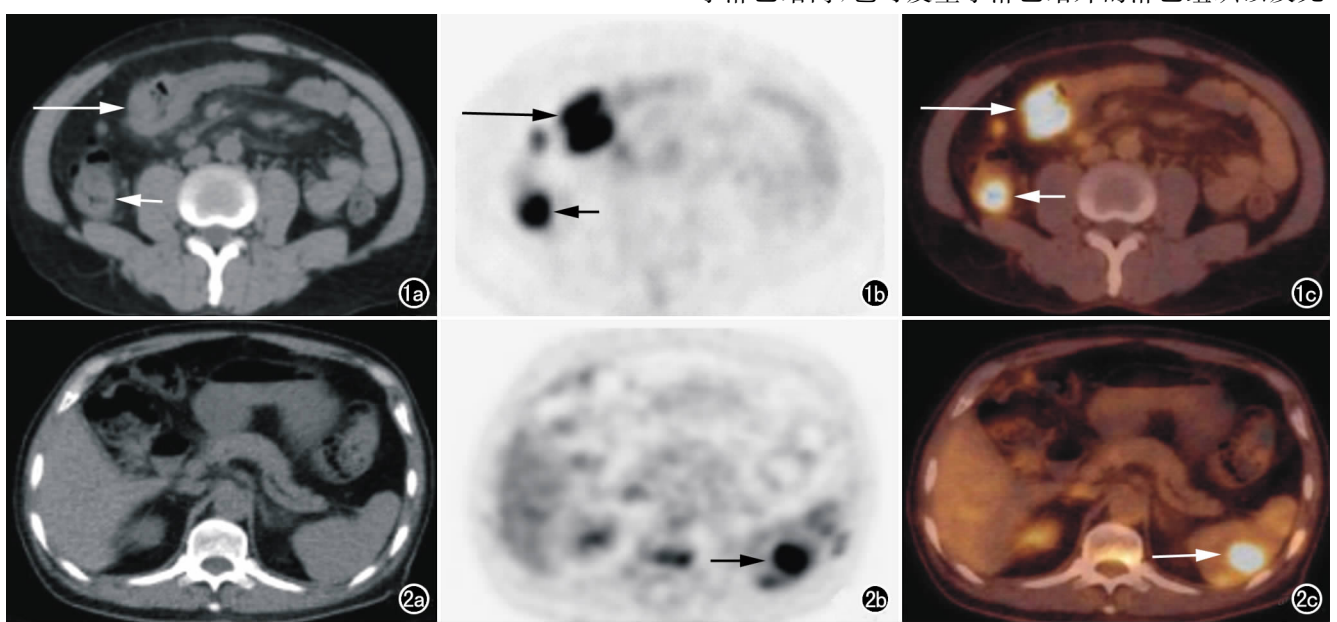


图 1 女,41岁,非霍奇金淋巴瘤。a) CT 示升结肠(短箭)和横结肠(长箭)肠壁增厚;b) PET 示升结肠(短箭)和横结肠(长箭)放射性异常浓聚;c) PET/CT 示升结肠(短箭)和横结肠(长箭)放射性异常浓聚。 图 2 男,48岁,霍奇金淋巴瘤。a) CT 示脾脏形态、密度未见异常;b) PET 示脾脏内结节状放射性异常浓聚(箭);c) PET/CT 示脾脏内结节状放射性异常浓聚(箭)。

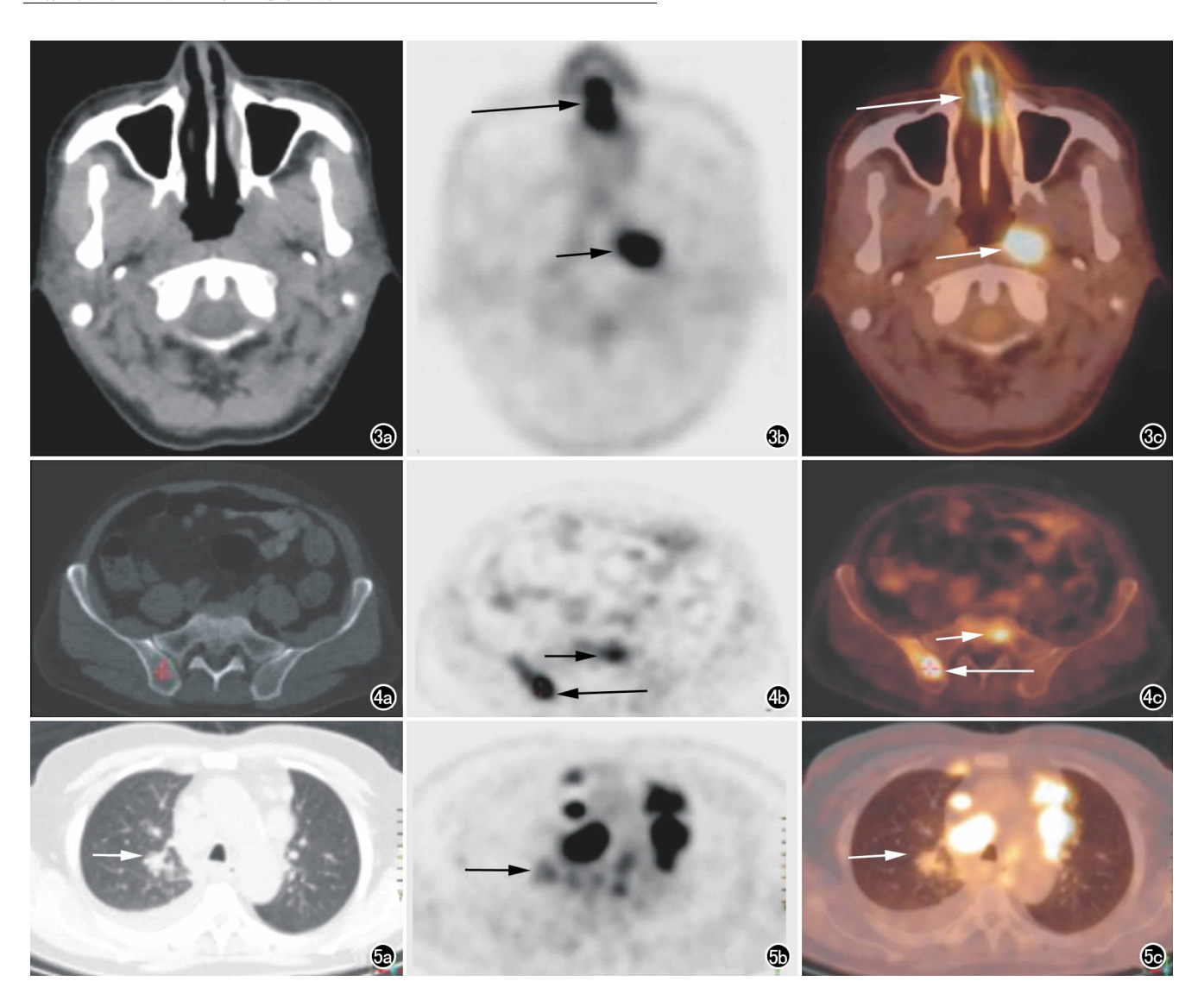


图 3 男,54岁,非霍奇金淋巴瘤。a) CT 示鼻中隔未见异常,鼻咽左侧壁稍饱满,咽隐窝变浅;b) PET 示鼻中隔前份(长箭)和鼻咽左侧壁(短箭)结节状放射性异常浓聚;c) PET/CT 示鼻中隔前份(长箭)和鼻咽左侧壁(短箭)结节状放射性异常浓聚。图 4 霍奇金淋巴瘤。a) CT 示骶骨、右侧髂骨骨质密度未见异常;b) PET 示骶骨(短箭)、右侧髂骨(长箭)结节状放射性异常浓聚。图 5 男,51岁,非霍奇金淋巴瘤。a) CT 示右上肺小片状高密度影(箭),纵隔内多发淋巴结肿大;b) PET 示右上肺小片状放射性异常浓聚(箭);c) PET/CT 示右上肺小片状放射性异常浓聚(箭),纵隔内多发结节状放射性异常浓聚。

淋巴组织的器官,是常见的恶性肿瘤之一。国外文献报道,淋巴瘤结外侵犯的发生率具有一定的地区差异,占淋巴瘤的 25%~40%^[1]。国内淋巴瘤结外侵犯占淋巴瘤的比率明显高于西方国家,为 53. 7%~57.8%^[2]。霍奇金淋巴瘤(Hodgkin lymphoma, HL)主要侵犯淋巴结,结外病变发生率低于 1%。非霍奇金淋巴瘤(Non-Hodgkin lymphoma, NHL)可侵犯淋巴结、结外淋巴组织、结外非淋巴组织或同时发生,单纯淋巴结病变占 1/3。因此,绝大多数结外淋巴瘤为NHL^[3]。淋巴瘤结外侵犯可累及全身各个部位和组织,临床症状因侵犯的部位不同而表现各异,缺乏特异性,影像学检查是诊断淋巴瘤的重要方法。岑洪等^[4]报道无论是 B 细胞还是 T 细胞型伴结外侵犯的

NHL,单纯放疗、单纯化疗或化疗加局部放疗都不能 改善早期结外侵犯 NHL 患者的预后,其完全缓解率 低。因此,明确淋巴瘤有无结外侵犯对治疗方案的选 择具有重要的指导作用。

影像学检查能明确淋巴瘤的发生部位、范围,并对 其进行临床分期,但常规 CT、MRI 以及超声均属于形态学检查,只有在出现形态、结构的改变之后才能发现 病变,如淋巴结的增大、肝脾体积增大、肿块或异常强 化的出现,容易遗漏小的和早期的病变,并且这些检查 常常是某一个部位的局部检查,而淋巴瘤是一个全身 性病变,对检查部位的单发淋巴瘤结内或结外侵犯病 灶在首次诊断时较为困难,如能结合全身病变情况,诊 断可能变得相对容易。另外,不能对全身的病变情况 进行评价,也会导致临床分期与实际病情的差距较大, 降低了临床分期对治疗和预后评价的指导价值,具有 一定的局限性。PET/CT 整合了功能分子影像与解 剖结构影像,能从代谢水平对淋巴瘤进行诊断、分期和 疗效评价,是目前最为成熟的分子影像设备。本组病 例中淋巴瘤结外侵犯最常累及的器官是消化道,共10 例,占全部病例的37.0%,高于纪小龙等[5] 统计的 24.28%(934 例结外淋巴瘤发生部位最多见于消化 道),可能与本组病例数较少有关。淋巴瘤结外侵犯的 PET/CT 主要表现为病变部位形态、密度异常以及 18 F-FDG 摄取的异常增高,也有部分病灶仅见18 F-FDG 摄取的异常增高而无形态、密度的改变。本组病 例中,有17个病灶(23%,17/74)PET/CT未见形态、 密度的改变而仅有¹⁸ F-FDG 摄取的异常增高。由于本 组部分病例未行 CT 扫描,而 PET/CT 的 CT 扫描是 低剂量扫描,主要为病灶定位所用,不能以此对病变进 行诊断,所以也就没有比较 PET/CT 与常规 CT 扫描 对淋巴瘤结外侵犯的诊断价值。但已有研究表明, PET/CT 对淋巴瘤结外侵犯的诊断价值优于常规 CT, Schaefer 等[6] 报道 PET/CT 诊断淋巴瘤结外侵 犯的敏感度和特异度分别为88%和100%,而增强CT 诊断淋巴瘤结外侵犯的敏感度和特异度分别为 50% 和90%。本组侵犯骨骼的病例虽仅有2例,但是骨骼 的病灶数目最多,达到 21 个,占 PET/CT 发现病灶数 目的 28.4%,推测可能与肿瘤细胞的血行播散有关, 并且 21 个病灶中 9 个病灶未见形态、密度的改变,说 明 PET/CT 对淋巴瘤骨骼侵犯的诊断具有明显优势。 Schaefer 等[7]报道 PET 诊断淋巴瘤骨骼侵犯的敏感 度高于CT或CT联合单侧髂骨棘骨髓穿刺活检。 Pakos 等[8] 做的 meta 分析研究认为 PET 对淋巴瘤骨 骼侵犯的探查与骨髓穿刺活检具有良好的相关性,两

传真:010-82547903 网址:www.cjiit.com

者可互为补充。淋巴瘤的确诊依赖于手术病理或穿刺活检,PET/CT显示病灶放射性异常浓聚,还可指导穿刺活检部位的选择,避开坏死组织,有利于提高穿刺活检成功率。

综上所述,¹⁸ F-FDG PET/CT 整合了功能分子影像与解剖结构影像,较常规影像学检查方法具有明显优势,对诊断骨骼、胃肠道、胸腹膜、肌肉、皮肤等 CT、MRI 容易漏诊的淋巴瘤结外侵犯病灶具有较高的敏感度,在淋巴瘤结外侵犯的诊断、鉴别诊断、分期、治疗方案选择以及疗效评价中具有非常重要的价值。

参考文献:

- [1] Ilica AT, Kocacelebi K, Savas R, et al. Imaging of extranodal lymphoma with PET/CT[J]. Clin Nucl Med, 2011, 36 (10): e127-e138.
- [2] 李治群,夏黎明.头颈部结外非霍奇金淋巴瘤的 MRI 应用价值 [J]. 放射学实践,2010,25(3):297-300.
- [3] 周建军,丁建国,周康荣,等. 结外淋巴瘤:影像学共性特征与病理的关系[J]. 临床放射学杂志,2007,26(6);618-621.
- [4] 岑洪,胡晓桦,谭晓虹,等. 结外侵犯非霍奇金淋巴瘤 224 例的临床病理特征及疗效分析[J]. 中华肿瘤防治杂志,2007,14(22): 1721-1724.
- [5] 纪小龙,申明识. 我国淋巴结外淋巴瘤的临床特点[J]. 癌症, 1999,18(5):570-572.
- [6] Schaefer NG, Hany TF, Taverna C, et al. Non-Hodgkin lymphoma and Hodgkin disease; coregistered FDG PET and CT at staging and restaging-do we need contrast-enhanced CT? [J]. Radiology, 2004,232(3);823-829.
- [7] Schaefer NG, Strobel K, Taverna C, et al. Bone involvement in patients with lymphoma; the role of FDG-PET/CT[J]. Eur J Nucl Med Mol Imaging, 2007, 34(1); 60-67.
- [8] Pakos EE, Fotopoulos AD, Ioannidis JP, et al. ¹⁸F-FDG PET for evaluation of bone marrow infiltration in staging of lymphoma: a meta-analysis[J]. J Nucl Med, 2005, 46(6): 958-963.

(收稿日期:2012-02-16 修回日期:2012-07-13)

《中国介入影像与治疗学》杂志 2013 年征订启事

《中国介入影像与治疗学》杂志创刊于 2004 年,是由中国科学院主管,中国科学院声学研究所主办,中国工程院医药卫生工程学部协办的国家级学术期刊,主编为邹英华教授。刊号:ISSN 1672-8475,CN 11-5213/R。是中国精品科技期刊、中国科技论文统计源期刊(中国科技核心期刊)、中国科学引文数据库核心期刊、中国期刊全文数据库全文收录期刊、荷兰《医学文摘》收录源期刊、俄罗斯《文摘杂志》收录源期刊、波兰《哥白尼索引》收录源期刊。

《中国介入影像与治疗学》杂志以报道介入影像与治疗学、介入超声学、介入材料学、药物学与护理学等方面的临床研究、基础研究以及医、理、工结合的成果与新进展为主,在学术上追求高起点、创新性;在技术上追求先进性、实用性和规范化;信息报导上追求真实性、时效性、可读性。本刊是介入影像、治疗学工作者学习、交流的园地,也是图书馆必备的学术刊物。

《中国介入影像与治疗学》为月刊,64页,大16开本,彩色印刷。单价:16元,全年定价192元。订户可随时向当地邮局订阅,邮发代号:80-220;亦可向编辑部直接订阅,免邮寄费(欢迎通过银行转账,附言栏请注明订阅杂志名称)。

欢迎广大医务工作者踊跃订阅和投稿,我们将为您提供最优质、便捷的服务。电话:010-82547903 联系人:孟辰凤地址:100190 北京市海淀区北四环西路 21 号大猷楼 502 室 E-mail:cjiit@mail. ioa. ac. cn 银行账户名:《中国医学影像技术》期刊社 开户行:招商银行北京分行清华园支行 账号:110907929010201